



## 2. Ladungskonjugation



## 2. Ladungskonjugation

### ▶ Dirac-Gleichung im elektromagnetischen Feld

▶ Elektron ( $q = -e$ ): 
$$\left( i\cancel{\partial} + \frac{e}{\hbar c} \mathbf{A} - \frac{mc}{\hbar} \right) \psi(x) = 0 \quad (1)$$

▶ Positron ( $q = +e$ ): 
$$\left( i\cancel{\partial} - \frac{e}{\hbar c} \mathbf{A} - \frac{mc}{\hbar} \right) \psi_C = 0 \quad (2)$$



## 2. Ladungskonjugation

► Dirac-Gleichung im elektromagnetischen Feld

► Elektron ( $q = -e$ ): 
$$\left( i\cancel{\partial} + \frac{e}{\hbar c} \mathbf{A} - \frac{mc}{\hbar} \right) \psi(x) = 0 \quad (1)$$

► Positron ( $q = +e$ ): 
$$\left( i\cancel{\partial} - \frac{e}{\hbar c} \mathbf{A} - \frac{mc}{\hbar} \right) \psi_C = 0 \quad (2)$$

Wie sieht die **ladungskonjugierte Lösung**  $\psi_C(x)$  aus, wenn  $\psi(x)$  bekannt ist?



## 2. Ladungskonjugation

- ▶ Dirac-Gleichung im elektromagnetischen Feld

- ▶ Elektron ( $q = -e$ ): 
$$\left( i\cancel{\partial} + \frac{e}{\hbar c} \mathbf{A} - \frac{mc}{\hbar} \right) \psi(x) = 0 \quad (1)$$

- ▶ Positron ( $q = +e$ ): 
$$\left( i\cancel{\partial} - \frac{e}{\hbar c} \mathbf{A} - \frac{mc}{\hbar} \right) \psi_C = 0 \quad (2)$$

Wie sieht die **ladungskonjugierte Lösung**  $\psi_C(x)$  aus, wenn  $\psi(x)$  bekannt ist?

- ▶ Komplexe Konjugation von (1):

$$\left[ -\gamma^{\mu*} \left( i\partial_{\mu} - \frac{e}{\hbar c} \mathbf{A}_{\mu} \right) - \frac{mc}{\hbar} \right] \psi^*(x) = 0$$



## 2. Ladungskonjugation

- ▶ Dirac-Gleichung im elektromagnetischen Feld

- ▶ Elektron ( $q = -e$ ): 
$$\left( i\cancel{\partial} + \frac{e}{\hbar c} \mathbf{A} - \frac{mc}{\hbar} \right) \psi(x) = 0 \quad (1)$$

- ▶ Positron ( $q = +e$ ): 
$$\left( i\cancel{\partial} - \frac{e}{\hbar c} \mathbf{A} - \frac{mc}{\hbar} \right) \psi_C = 0 \quad (2)$$

Wie sieht die **ladungskonjugierte Lösung**  $\psi_C(x)$  aus, wenn  $\psi(x)$  bekannt ist?

- ▶ Komplexe Konjugation von (1):

$$\left[ -\gamma^{\mu*} \left( i\partial_{\mu} - \frac{e}{\hbar c} \mathbf{A}_{\mu} \right) - \frac{mc}{\hbar} \right] \psi^*(x) = 0$$

$$\gamma^{\mu*} = \left\{ \begin{array}{ll} \gamma^{\mu} & \text{für } \mu = 0, 1, 3 \\ -\gamma^{\mu} & \mu = 2 \end{array} \right\} = \gamma^2 \gamma^{\mu} \gamma^2, \quad \gamma^2 \gamma^2 = -1$$



## 2. Ladungskonjugation

- ▶ Dirac-Gleichung im elektromagnetischen Feld

- ▶ Elektron ( $q = -e$ ): 
$$\left( i\cancel{\partial} + \frac{e}{\hbar c} \mathbf{A} - \frac{mc}{\hbar} \right) \psi(x) = 0 \quad (1)$$

- ▶ Positron ( $q = +e$ ): 
$$\left( i\cancel{\partial} - \frac{e}{\hbar c} \mathbf{A} - \frac{mc}{\hbar} \right) \psi_C = 0 \quad (2)$$

Wie sieht die **ladungskonjugierte Lösung**  $\psi_C(x)$  aus, wenn  $\psi(x)$  bekannt ist?

- ▶ Komplexe Konjugation von (1):

$$\left[ -\gamma^{\mu*} \left( i\partial_{\mu} - \frac{e}{\hbar c} \mathbf{A}_{\mu} \right) - \frac{mc}{\hbar} \right] \psi^*(x) = 0$$

$$\gamma^{\mu*} = \left\{ \begin{array}{ll} \gamma^{\mu} & \text{für } \mu = 0, 1, 3 \\ -\gamma^{\mu} & \mu = 2 \end{array} \right\} = \gamma^2 \gamma^{\mu} \gamma^2, \quad \gamma^2 \gamma^2 = -1$$

$$\Rightarrow -\gamma^2 \left[ \gamma^{\mu} \left( i\partial_{\mu} - \frac{e}{\hbar c} \mathbf{A}_{\mu} \right) - \frac{mc}{\hbar} \right] \gamma^2 \psi^*(x) = 0$$



## 2. Ladungskonjugation

- ▶ Dirac-Gleichung im elektromagnetischen Feld

- ▶ Elektron ( $q = -e$ ): 
$$\left( i\cancel{\partial} + \frac{e}{\hbar c} \mathbf{A} - \frac{mc}{\hbar} \right) \psi(x) = 0 \quad (1)$$

- ▶ Positron ( $q = +e$ ): 
$$\left( i\cancel{\partial} - \frac{e}{\hbar c} \mathbf{A} - \frac{mc}{\hbar} \right) \psi_C = 0 \quad (2)$$

Wie sieht die **ladungskonjugierte Lösung**  $\psi_C(x)$  aus, wenn  $\psi(x)$  bekannt ist?

- ▶ Komplexe Konjugation von (1):

$$\left[ -\gamma^{\mu*} \left( i\partial_{\mu} - \frac{e}{\hbar c} \mathbf{A}_{\mu} \right) - \frac{mc}{\hbar} \right] \psi^*(x) = 0$$

$$\gamma^{\mu*} = \left\{ \begin{array}{ll} \gamma^{\mu} & \text{für } \mu = 0, 1, 3 \\ -\gamma^{\mu} & \mu = 2 \end{array} \right\} = \gamma^2 \gamma^{\mu} \gamma^2, \quad \gamma^2 \gamma^2 = -1$$

$$\Rightarrow -\gamma^2 \left[ i\cancel{\partial} - \frac{e}{\hbar c} \mathbf{A} - \frac{mc}{\hbar} \right] \gamma^2 \psi^*(x) = 0$$



## 2. Ladungskonjugation

### ▶ Dirac-Gleichung im elektromagnetischen Feld

▶ Elektron ( $q = -e$ ): 
$$\left( i\cancel{\partial} + \frac{e}{\hbar c} \mathbf{A} - \frac{mc}{\hbar} \right) \psi(x) = 0 \quad (1)$$

▶ Positron ( $q = +e$ ): 
$$\left( i\cancel{\partial} - \frac{e}{\hbar c} \mathbf{A} - \frac{mc}{\hbar} \right) \psi_C = 0 \quad (2)$$

Wie sieht die **ladungskonjugierte Lösung**  $\psi_C(x)$  aus, wenn  $\psi(x)$  bekannt ist?

### ▶ Komplexe Konjugation von (1):

$$\left[ -\gamma^{\mu*} \left( i\partial_{\mu} - \frac{e}{\hbar c} \mathbf{A}_{\mu} \right) - \frac{mc}{\hbar} \right] \psi^*(x) = 0$$

$$\gamma^{\mu*} = \left\{ \begin{array}{ll} \gamma^{\mu} & \text{für } \mu = 0, 1, 3 \\ -\gamma^{\mu} & \mu = 2 \end{array} \right\} = \gamma^2 \gamma^{\mu} \gamma^2, \quad \gamma^2 \gamma^2 = -1$$

$$\Rightarrow \left[ i\cancel{\partial} - \frac{e}{\hbar c} \mathbf{A} - \frac{mc}{\hbar} \right] \gamma^2 \psi^*(x) = 0 \quad \Rightarrow \quad \psi_C(x) = e^{i\varphi} \gamma^2 \psi^*(x)$$



$$\psi_C(x) = e^{i\varphi\gamma^2}\psi^*(x)$$



$$\psi_C(x) = e^{i\varphi} \gamma^2 \psi^*(x)$$

- ▶ übliche Wahl:  $e^{i\varphi} = i \rightarrow i\gamma^2 = \text{reelle Matrix}$



$$\psi_C(x) = e^{i\varphi} \gamma^2 \psi^*(x)$$

- ▶ übliche Wahl:  $e^{i\varphi} = i \rightarrow i\gamma^2 = \text{reelle Matrix}$
- ▶ übliche Notation:

$$\psi_C(x) = C\gamma^0\psi^*(x) = C\bar{\psi}^T(x), \quad C \equiv i\gamma^2\gamma^0$$

$$\psi_C(x) = e^{i\varphi} \gamma^2 \psi^*(x)$$

- ▶ übliche Wahl:  $e^{i\varphi} = i \rightarrow i\gamma^2 = \text{reelle Matrix}$
- ▶ übliche Notation:

$$\psi_C(x) = C\gamma^0\psi^*(x) = C\bar{\psi}^T(x), \quad C \equiv i\gamma^2\gamma^0$$

(gilt in Dirac-Darstellung, kann in anderen Darstellungen anders aussehen!)



### 3. Zeitumkehr (Bewegungsumkehr)



### 3. Zeitumkehr (Bewegungsumkehr)

- ▶ relativ kompliziert (antiunitäre Transformation, s. z.B. Schwabl)
  - hier: etwas vereinfachte Idee



### 3. Zeitumkehr (Bewegungsumkehr)

- ▶ relativ kompliziert (antiunitäre Transformation, s. z.B. Schwabl)  
→ hier: etwas vereinfachte Idee
- ▶ Dirac-Gleichung im elektromagnetischen Feld (nicht kovariante Form):

$$i\hbar \frac{\partial}{\partial t} \psi(t, \vec{r}) = \left[ \vec{\alpha} \cdot \frac{\hbar c}{i} (\vec{\nabla} - \frac{iq}{\hbar c} \vec{A}(t, \vec{r})) + \beta mc^2 + q\phi(t, \vec{r}) \right] \psi(t, \vec{r})$$



### 3. Zeitumkehr (Bewegungsumkehr)

- ▶ relativ kompliziert (antiunitäre Transformation, s. z.B. Schwabl)  
→ hier: etwas vereinfachte Idee
- ▶ Dirac-Gleichung im elektromagnetischen Feld (nicht kovariante Form):

$$i\hbar \frac{\partial}{\partial t} \psi(t, \vec{r}) = \left[ \vec{\alpha} \cdot \frac{\hbar c}{i} (\vec{\nabla} - \frac{iq}{\hbar c} \vec{A}(t, \vec{r})) + \beta mc^2 + q\phi(t, \vec{r}) \right] \psi(t, \vec{r})$$

- ▶ Betrachte einen „rückwärts laufenden Film“:
  - ▶ Koordinaten:  $(t, \vec{r}) \rightarrow (-t, \vec{r})$
  - ▶ elektromagnetische Ladungen und Ströme:  $\rho \rightarrow \rho, \vec{j} \rightarrow -\vec{j}$   
 $\Rightarrow \vec{E} \rightarrow \vec{E}, \vec{B} \rightarrow -\vec{B} \Rightarrow \phi(t, \vec{r}) \rightarrow \phi(-t, \vec{r}), \vec{A}(t, \vec{r}) \rightarrow -\vec{A}(-t, \vec{r})$



- ▶ Dirac-Gleichung mit elektromagnetischen Feldern:

$$i\hbar \frac{\partial}{\partial t} \psi(t, \vec{r}) = \left[ \vec{\alpha} \cdot \frac{\hbar c}{i} (\vec{\nabla} - \frac{iq}{\hbar c} \vec{A}(t, \vec{r})) + \beta mc^2 + q\phi(t, \vec{r}) \right] \psi(t, \vec{r})$$

- ▶ Dirac-Gleichung mit zeitungekehrten elmagn. Feldern:

$$i\hbar \frac{\partial}{\partial t} \psi_T(t, \vec{r}) = \left[ \vec{\alpha} \cdot \frac{\hbar c}{i} (\vec{\nabla} + \frac{iq}{\hbar c} \vec{A}(-t, \vec{r})) + \beta mc^2 + q\phi(-t, \vec{r}) \right] \psi_T(t, \vec{r})$$



- ▶ Dirac-Gleichung mit elektromagnetischen Feldern:

$$i\hbar \frac{\partial}{\partial t} \psi(t, \vec{r}) = \left[ \vec{\alpha} \cdot \frac{\hbar c}{i} (\vec{\nabla} - \frac{iq}{\hbar c} \vec{A}(t, \vec{r})) + \beta mc^2 + q\phi(t, \vec{r}) \right] \psi(t, \vec{r})$$

- ▶ Dirac-Gleichung mit zeitungekehrten elmagn. Feldern:

$$i\hbar \frac{\partial}{\partial t} \psi_T(t, \vec{r}) = \left[ \vec{\alpha} \cdot \frac{\hbar c}{i} (\vec{\nabla} + \frac{iq}{\hbar c} \vec{A}(-t, \vec{r})) + \beta mc^2 + q\phi(-t, \vec{r}) \right] \psi_T(t, \vec{r})$$

- ▶ Lösung:

$$\psi_T(t, \vec{r}) = \sigma^{13} \psi^*(-t, \vec{r}) = i\gamma^1 \gamma^3 \psi^*(-t, \vec{r})$$

# 3. Streutheorie

---



TECHNISCHE  
UNIVERSITÄT  
DARMSTADT

---

### 3. Streutheorie

---



TECHNISCHE  
UNIVERSITÄT  
DARMSTADT

---

Ab jetzt behandeln wir die Quantenmechanik wieder nichtrelativistisch.

## 3.1 Einführung und Grundbegriffe

---

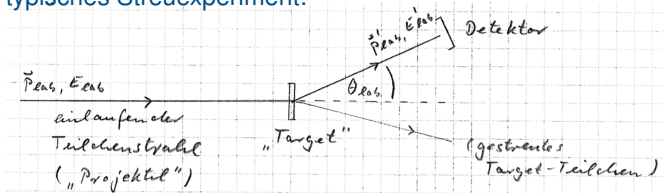


TECHNISCHE  
UNIVERSITÄT  
DARMSTADT

---

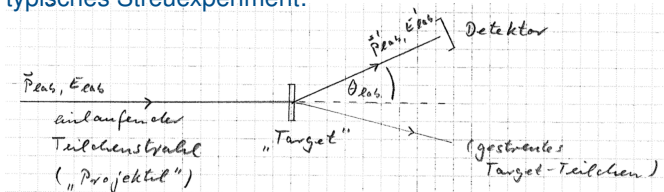
# 3.1 Einführung und Grundbegriffe

► typisches Streuexperiment:

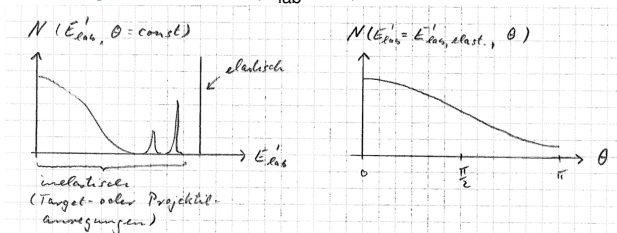


# 3.1 Einführung und Grundbegriffe

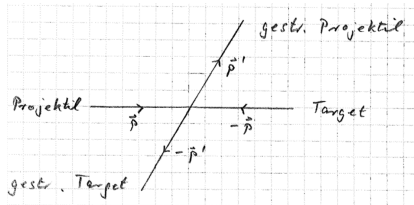
## ► typisches Streuexperiment:



## ► Messung: Zählrate $N(E'_{lab}, \theta_{lab})$



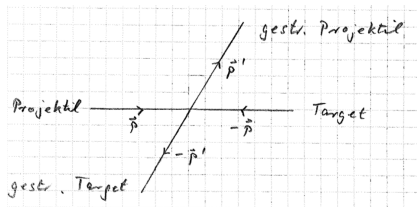
- ▶ in der Regel besser: **Schwerpunktsystem (CMS)**



Streuwinkel:  $\cos \theta = \frac{\vec{p} \cdot \vec{p}'}{|\vec{p}| |\vec{p}'|}$



- ▶ in der Regel besser: **Schwerpunktsystem (CMS)**



Streuwinkel:  $\cos \theta = \frac{\vec{p} \cdot \vec{p}'}{|\vec{p}| |\vec{p}'|}$

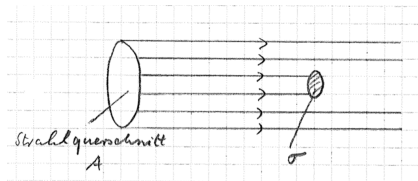
- ▶ elastische Streuung im CMS:  $|\vec{p}'| = |\vec{p}| \Leftrightarrow E' = E \quad (= \frac{\vec{p}^2}{2m})$

- (differenzieller) Wirkungsquerschnitt =  $\frac{\text{„interessante“ Ereignisse pro Zeit}}{\text{einlaufende Projektilteilchen pro Zeit und Fläche}}$
- Dimension = Fläche

- (differenzieller) Wirkungsquerschnitt =  $\frac{\text{„interessante“ Ereignisse pro Zeit}}{\text{einlaufende Projektileilchen pro Zeit und Fläche}}$

→ Dimension = Fläche

- anschaulich:



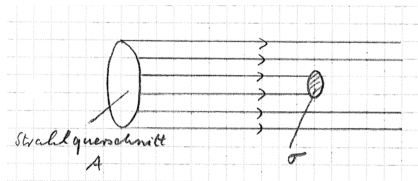
Zahl der „Ereignisse“:

$$N_{\text{abs}} = \frac{\sigma}{A} N_{\text{einl}}$$

$$\Leftrightarrow \sigma = \frac{N_{\text{abs}}}{N_{\text{einl}}/A}$$

- ▶ (differenzieller) Wirkungsquerschnitt =  $\frac{\text{„interessante“ Ereignisse pro Zeit}}{\text{einlaufende Projektileilchen pro Zeit und Fläche}}$   
→ Dimension = Fläche

- ▶ anschaulich:



Zahl der „Ereignisse“:

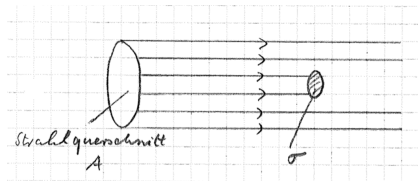
$$N_{\text{abs}} = \frac{\sigma}{A} N_{\text{einl}}$$

$$\Leftrightarrow \sigma = \frac{N_{\text{abs}}}{N_{\text{einl}}/A}$$

- ▶ häufig verwendete Einheit: 1b = 1 barn („Scheune“)

- ▶ (differenzieller) Wirkungsquerschnitt =  $\frac{\text{„interessante“ Ereignisse pro Zeit}}{\text{einlaufende Projektileilchen pro Zeit und Fläche}}$   
→ Dimension = Fläche

- ▶ anschaulich:



Zahl der „Ereignisse“:

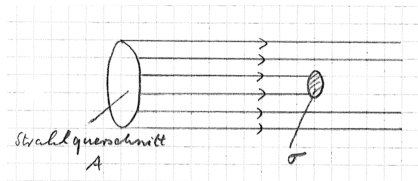
$$N_{\text{abs}} = \frac{\sigma}{A} N_{\text{eint}}$$

$$\Leftrightarrow \sigma = \frac{N_{\text{abs}}}{N_{\text{eint}}/A}$$

- ▶ häufig verwendete Einheit: 1b = 1 barn („Scheune“)  
=  $10^{-24} \text{cm}^2 = 100 \text{fm}^2$

- ▶ (differenzieller) Wirkungsquerschnitt =  $\frac{\text{„interessante“ Ereignisse pro Zeit}}{\text{einlaufende Projektileilchen pro Zeit und Fläche}}$   
→ Dimension = Fläche

- ▶ anschaulich:



Zahl der „Ereignisse“:

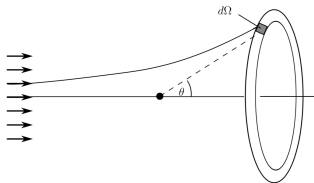
$$N_{\text{abs}} = \frac{\sigma}{A} N_{\text{einl}}$$

$$\Leftrightarrow \sigma = \frac{N_{\text{abs}}}{N_{\text{einl}}/A}$$

- ▶ häufig verwendete Einheit: 1b = 1 barn („Scheune“)  
 $= 10^{-24} \text{cm}^2 = 100 \text{fm}^2 = \pi R^2 \rightarrow R = 5.6 \text{fm}$  (größerer Atomkern)

- Für uns relevante etwas konkretere Definition des Wirkungsquerschnitts:

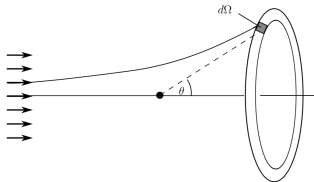
$$d\sigma(\theta, \varphi) = \frac{d\sigma(\theta, \varphi)}{d\Omega} d\Omega$$



$$= \frac{\text{in das Raumwinkelement } d\Omega \text{ gestreute Teilchen pro Zeit}}{\text{einlaufende Teilchen pro Zeit und Fläche}}$$

- Für uns relevante etwas konkretere Definition des Wirkungsquerschnitts:

$$d\sigma(\theta, \varphi) = \frac{d\sigma(\theta, \varphi)}{d\Omega} d\Omega$$



= in das Raumwinkelement  $d\Omega$  gestreute Teilchen pro Zeit  
einlaufende Teilchen pro Zeit und Fläche

- **totaler Wirkungsquerschnitt:**  $\sigma = \int d\Omega \frac{d\sigma}{d\Omega}$

1. nur Prozesse  $A + B \rightarrow A + B$ ,  
d.h. keine Teilchenproduktion, -vernichtung oder -umwandlung



1. nur Prozesse  $A + B \rightarrow A + B$ ,  
d.h. keine Teilchenproduktion, -vernichtung oder -umwandlung
2. (vorläufig) nur elastische Streuung,  
d.h. keine inneren Anregungen von Target oder Projektil

1. nur Prozesse  $A + B \rightarrow A + B$ ,  
d.h. keine Teilchenproduktion, -vernichtung oder -umwandlung
2. (vorläufig) nur elastische Streuung,  
d.h. keine inneren Anregungen von Target oder Projektil
3. keine Kohärenzeffekte durch Streuung an verschiedenen Target-Teilchen  
(wie z.B. Bragg-Streuung an Kristallen)



1. nur Prozesse  $A + B \rightarrow A + B$ ,  
d.h. keine Teilchenproduktion, -vernichtung oder -umwandlung
2. (vorläufig) nur elastische Streuung,  
d.h. keine inneren Anregungen von Target oder Projektil
3. keine Kohärenzeffekte durch Streuung an verschiedenen Target-Teilchen  
(wie z.B. Bragg-Streuung an Kristallen)
  - ▶ theoretische Beschreibung: nur ein Target-Teilchen
  - ▶ Vergleich mit dem Experiment:  
Teile gemessene Zählraten durch Zahl der Target-Teilchen
  - ▶ Voraussetzung:  $\Delta x \ll d$   
 $\Delta x$ : räumliche Ausdehnung des Wellenpakets des Projektils  
 $d$ : Abstand der Target-Teilchen



- ▶ **Beispiel:** Streuung von Elektronen ( $mc^2 = 511 \text{ keV}$ )  
an Kernen in einem Kristall ( $d = 1 \text{ \AA} = 10^5 \text{ fm}$ )

Impulsunschärfe:  $\Delta p > \frac{\hbar}{2\Delta x} \gg \frac{\hbar}{2d} = \frac{\hbar c}{2dc} = \frac{200 \text{ MeV fm}}{2 \cdot 10^5 \text{ fm c}} = 1 \text{ keV/c}$

$$\rightarrow \Delta E = \frac{(\Delta p)^2}{2m} \sim \frac{1}{2 \cdot 511} \text{ keV} \approx 1 \text{ eV}$$



- ▶ **Beispiel:** Streuung von Elektronen ( $mc^2 = 511 \text{ keV}$ )  
an Kernen in einem Kristall ( $d = 1 \text{ \AA} = 10^5 \text{ fm}$ )

$$\text{Impulsunschärfe: } \Delta p > \frac{\hbar}{2\Delta x} \gg \frac{\hbar}{2d} = \frac{\hbar c}{2dc} = \frac{200 \text{ MeV fm}}{2 \cdot 10^5 \text{ fm c}} = 1 \text{ keV/c}$$

$$\rightarrow \Delta E = \frac{(\Delta p)^2}{2m} \sim \frac{1}{2 \cdot 511} \text{ keV} \approx 1 \text{ eV}$$

#### 4. kein Spin



- ▶ **Beispiel:** Streuung von Elektronen ( $mc^2 = 511 \text{ keV}$ )  
an Kernen in einem Kristall ( $d = 1 \text{ \AA} = 10^5 \text{ fm}$ )

$$\text{Impulsunschärfe: } \Delta p > \frac{\hbar}{2\Delta x} \gg \frac{\hbar}{2d} = \frac{\hbar c}{2dc} = \frac{200 \text{ MeV fm}}{2 \cdot 10^5 \text{ fm c}} = 1 \text{ keV/c}$$

$$\rightarrow \Delta E = \frac{(\Delta p)^2}{2m} \sim \frac{1}{2 \cdot 511} \text{ keV} \approx 1 \text{ eV}$$

#### 4. kein Spin

5. Das Wechselwirkungspotenzial  $V(\vec{r})$  hängt nur vom **Relativvektor**  $\vec{r}$  zwischen Projektile und Target ab.



- ▶ **Beispiel:** Streuung von Elektronen ( $mc^2 = 511 \text{ keV}$ )  
an Kernen in einem Kristall ( $d = 1 \text{ \AA} = 10^5 \text{ fm}$ )

$$\text{Impulsunschärfe: } \Delta p > \frac{\hbar}{2\Delta x} \gg \frac{\hbar}{2d} = \frac{\hbar c}{2dc} = \frac{200 \text{ MeV fm}}{2 \cdot 10^5 \text{ fm c}} = 1 \text{ keV/c}$$

$$\rightarrow \Delta E = \frac{(\Delta p)^2}{2m} \sim \frac{1}{2 \cdot 511} \text{ keV} \approx 1 \text{ eV}$$

#### 4. kein Spin

5. Das Wechselwirkungspotenzial  $V(\vec{r})$  hängt nur vom **Relativvektor**  $\vec{r}$  zwischen Projektil und Target ab.

#### Abseparation der Schwerpunktbewegung

→ äquivalentes Einteilchenproblem im CMS:

Streuung eines Teilchens mit der **reduzierten Masse**  $\mu = \left( \frac{1}{m_P} + \frac{1}{m_T} \right)^{-1}$   
am Potenzial  $V(\vec{r})$



6. Der Streuprozess kann als **stationäres Problem** behandelt werden.  
→ Verwendung der **zeitunabhängigen Schrödinger-Gleichung**



6. Der Streuprozess kann als **stationäres Problem** behandelt werden.

→ Verwendung der **zeitunabhängigen Schrödinger-Gleichung**

▶ **anschaulich:**

konstant einlaufende Wasser- oder Lichtwelle, die an einem (räumlich begrenzten) Hindernis gebeugt wird



6. Der Streuprozess kann als **stationäres Problem** behandelt werden.

→ Verwendung der **zeitunabhängigen Schrödinger-Gleichung**

▶ **anschaulich:**

konstant einlaufende Wasser- oder Lichtwelle, die an einem (räumlich begrenzten) Hindernis gebeugt wird

▶ **Voraussetzung:**

Das Potenzial ist räumlich begrenzt oder fällt genügend schnell ab, und die Wellenpakete des realen Problems sind viel größer als die Reichweite des Potenzials.

## 3.2 Die Streuamplitude

---



TECHNISCHE  
UNIVERSITÄT  
DARMSTADT

---

## 3.2 Die Streuamplitude



- ▶ zeitabhängige Schrödinger-Gleichung:

$$\left( -\frac{\hbar^2}{2\mu} \nabla^2 + V(\vec{r}) \right) \Psi(t, \vec{r}) = i\hbar \frac{\partial}{\partial t} \Psi(t, \vec{r})$$

## 3.2 Die Streuamplitude

- ▶ zeitabhängige Schrödinger-Gleichung:

$$\left( -\frac{\hbar^2}{2\mu} \nabla^2 + V(\vec{r}) \right) \Psi(t, \vec{r}) = i\hbar \frac{\partial}{\partial t} \Psi(t, \vec{r})$$

- ▶ stationäre Lösung:  $\Psi(t, \vec{r}) = \psi(\vec{r}) e^{-\frac{i}{\hbar} Et}$

→ zeitunabhängige Schrödinger-Gleichung:  $\left( -\frac{\hbar^2}{2\mu} \nabla^2 + V(\vec{r}) \right) \psi(\vec{r}) = E \psi(\vec{r})$

## 3.2 Die Streuamplitude



- ▶ zeitabhängige Schrödinger-Gleichung:

$$\left( -\frac{\hbar^2}{2\mu} \nabla^2 + V(\vec{r}) \right) \Psi(t, \vec{r}) = i\hbar \frac{\partial}{\partial t} \Psi(t, \vec{r})$$

- ▶ stationäre Lösung:  $\Psi(t, \vec{r}) = \psi(\vec{r}) e^{-\frac{i}{\hbar} Et}$

→ zeitunabhängige Schrödinger-Gleichung:  $\left( -\frac{\hbar^2}{2\mu} \nabla^2 + V(\vec{r}) \right) \psi(\vec{r}) = E \psi(\vec{r})$

- ▶ gesucht: **Kontinuumslösungen**, bei denen die Welle aus dem Unendlichen kommend ins Unendliche gestreut wird.

## 3.2 Die Streuamplitude

- ▶ zeitabhängige Schrödinger-Gleichung:

$$\left(-\frac{\hbar^2}{2\mu}\nabla^2 + V(\vec{r})\right)\Psi(t, \vec{r}) = i\hbar\frac{\partial}{\partial t}\Psi(t, \vec{r})$$

- ▶ stationäre Lösung:  $\Psi(t, \vec{r}) = \psi(\vec{r})e^{-\frac{i}{\hbar}Et}$

→ zeitunabhängige Schrödinger-Gleichung:  $\left(-\frac{\hbar^2}{2\mu}\nabla^2 + V(\vec{r})\right)\psi(\vec{r}) = E\psi(\vec{r})$

- ▶ gesucht: **Kontinuumslösungen**, bei denen die Welle aus dem Unendlichen kommend ins Unendliche gestreut wird.
- ▶ räumlich lokalisiertes Potenzial:  $V(\vec{r}) \xrightarrow{|\vec{r}| \rightarrow \infty} 0$   
→  $E > 0$  für Kontinuumslösungen

## 3.2 Die Streuamplitude



- ▶ zeitabhängige Schrödinger-Gleichung:

$$\left( -\frac{\hbar^2}{2\mu} \nabla^2 + V(\vec{r}) \right) \Psi(t, \vec{r}) = i\hbar \frac{\partial}{\partial t} \Psi(t, \vec{r})$$

- ▶ stationäre Lösung:  $\Psi(t, \vec{r}) = \psi(\vec{r}) e^{-\frac{i}{\hbar} Et}$

→ zeitunabhängige Schrödinger-Gleichung:  $\left( -\frac{\hbar^2}{2\mu} \nabla^2 + V(\vec{r}) \right) \psi(\vec{r}) = E \psi(\vec{r})$

- ▶ gesucht: **Kontinuumslösungen**, bei denen die Welle aus dem Unendlichen kommend ins Unendliche gestreut wird.
- ▶ räumlich lokalisiertes Potenzial:  $V(\vec{r}) \xrightarrow{|\vec{r}| \rightarrow \infty} 0$ 
  - $E > 0$  für Kontinuumslösungen
- ▶  $E$  kann durch Präparation des Projektilstrahls beliebig vorgegeben werden.
  - **Randwertproblem** zu vorgegebenem  $E > 0$



► **Ansatz:**  $\psi(\vec{r}) = \psi_{\text{einl}}(\vec{r}) + \psi_{\text{streu}}(\vec{r})$



- ▶ **Ansatz:**  $\psi(\vec{r}) = \psi_{\text{einkl}}(\vec{r}) + \psi_{\text{streu}}(\vec{r})$
- ▶  $\psi_{\text{einkl}}$ : **Lösung in Abwesenheit des Potentials;**  
wird von der experimentellen Teilchenquelle bestimmt.



- ▶ **Ansatz:**  $\psi(\vec{r}) = \psi_{\text{einkl}}(\vec{r}) + \psi_{\text{streu}}(\vec{r})$
  - ▶  $\psi_{\text{einkl}}$ : **Lösung in Abwesenheit des Potenzials;**  
wird von der experimentellen Teilchenquelle bestimmt.
- wähle in z-Richtung laufende **ebene Welle** mit Energie  $E$ :

$$\psi_{\text{einkl}}(\vec{r}) \propto e^{i\vec{k}\cdot\vec{r}} = e^{ikz}, \quad \vec{k} = k\vec{e}_z, \quad \vec{p} = \hbar\vec{k}, \quad E = \frac{\hbar^2\vec{k}^2}{2\mu}$$



- ▶ **Ansatz:**  $\psi(\vec{r}) = \psi_{\text{einkl}}(\vec{r}) + \psi_{\text{streu}}(\vec{r})$
- ▶  $\psi_{\text{einkl}}$ : **Lösung in Abwesenheit des Potentials;**  
wird von der experimentellen Teilchenquelle bestimmt.  
→ wähle in z-Richtung laufende **ebene Welle** mit Energie  $E$ :  
$$\psi_{\text{einkl}}(\vec{r}) \propto e^{i\vec{k}\cdot\vec{r}} = e^{ikz}, \quad \vec{k} = k\vec{e}_z, \quad \vec{p} = \hbar\vec{k}, \quad E = \frac{\hbar^2\vec{k}^2}{2\mu}$$
- ▶  $\psi_{\text{streu}}$ : **Korrektur auf Grund des Potentials**



▶ **Ansatz:**  $\psi(\vec{r}) = \psi_{\text{einkl}}(\vec{r}) + \psi_{\text{streu}}(\vec{r})$

▶  $\psi_{\text{einkl}}$ : **Lösung in Abwesenheit des Potentials;**

wird von der experimentellen Teilchenquelle bestimmt.

→ wähle in z-Richtung laufende **ebene Welle** mit Energie  $E$ :

$$\psi_{\text{einkl}}(\vec{r}) \propto e^{i\vec{k}\cdot\vec{r}} = e^{ikz}, \quad \vec{k} = k\vec{e}_z, \quad \vec{p} = \hbar\vec{k}, \quad E = \frac{\hbar^2 k^2}{2\mu}$$

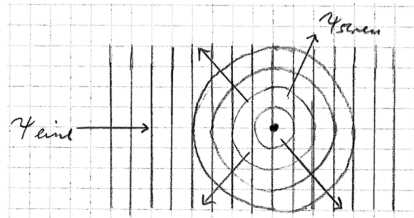
▶  $\psi_{\text{streu}}$ : **Korrektur auf Grund des Potentials**

$$V(\vec{r}) \xrightarrow{|\vec{r}| \rightarrow \infty} 0 \quad \Rightarrow \quad -\frac{\hbar^2}{2\mu} \nabla^2 \psi_{\text{streu}}(\vec{r}) = E \psi_{\text{streu}}(\vec{r}) \quad \text{für } |\vec{r}| \rightarrow \infty$$

(d.h.  $\psi_{\text{streu}}(\vec{r})$  ist asymptotisch eine Lösung der freien Schrödinger-Gl.)

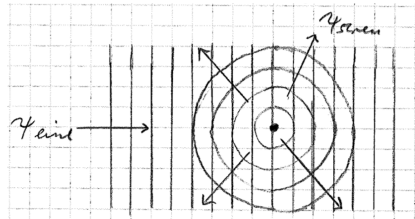
► anschaulich klar:

$\psi_{\text{streu}}$  ist keine ebene Welle,  
sondern läuft **asymptotisch radial**  
aus.



► anschaulich klar:

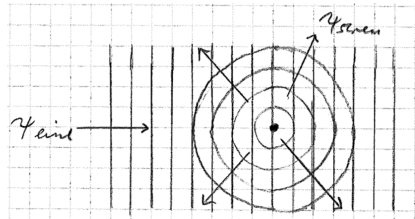
$\psi_{\text{streu}}$  ist keine ebene Welle,  
sondern läuft **asymptotisch radial**  
aus.



$$\psi_{\text{streu}}(\vec{r}) \xrightarrow{r \rightarrow \infty} f_k(\theta, \varphi) \frac{e^{ikr}}{r}, \quad r \equiv |\vec{r}|, \quad f_k: \text{„Streuamplitude“}$$

► anschaulich klar:

$\psi_{\text{streu}}$  ist keine ebene Welle,  
sondern läuft **asymptotisch radial**  
aus.

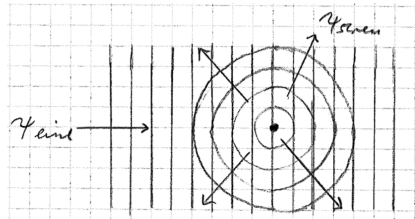


$$\psi_{\text{streu}}(\vec{r}) \xrightarrow{r \rightarrow \infty} f_k(\theta, \varphi) \frac{e^{ikr}}{r}, \quad r \equiv |\vec{r}|, \quad f_k: \text{„Streuamplitude“}$$

$$\Rightarrow \nabla^2 f_k(\theta, \varphi) \frac{e^{ikr}}{r} = \Delta f_k(\theta, \varphi) \frac{e^{ikr}}{r}$$

► anschaulich klar:

$\psi_{\text{streu}}$  ist keine ebene Welle,  
sondern läuft **asymptotisch radial**  
aus.

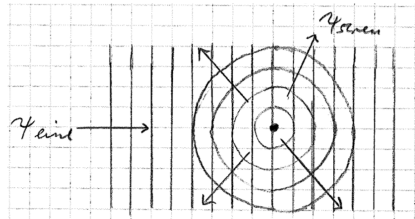


$$\psi_{\text{streu}}(\vec{r}) \xrightarrow{r \rightarrow \infty} f_k(\theta, \varphi) \frac{e^{ikr}}{r}, \quad r \equiv |\vec{r}|, \quad f_k: \text{„Streuamplitude“}$$

$$\begin{aligned} \Rightarrow \nabla^2 f_k(\theta, \varphi) \frac{e^{ikr}}{r} &= \Delta f_k(\theta, \varphi) \frac{e^{ikr}}{r} \\ &= \frac{1}{r^2} \frac{\partial}{\partial r} \left[ r^2 \frac{\partial}{\partial r} f_k(\theta, \varphi) \frac{e^{ikr}}{r} \right] + \frac{1}{r^2 \sin^2 \theta} \left[ \frac{\partial}{\partial \theta} \left( \sin \theta \frac{\partial}{\partial \theta} f_k(\theta, \varphi) \frac{e^{ikr}}{r} \right) + \frac{\partial^2}{\partial \varphi^2} f_k(\theta, \varphi) \frac{e^{ikr}}{r} \right] \end{aligned}$$

► anschaulich klar:

$\psi_{\text{streu}}$  ist keine ebene Welle,  
sondern läuft **asymptotisch radial**  
aus.

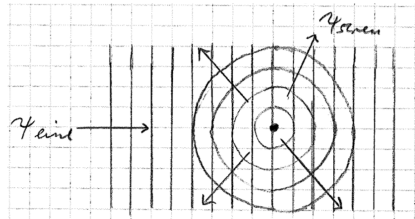


$$\psi_{\text{streu}}(\vec{r}) \xrightarrow{r \rightarrow \infty} f_k(\theta, \varphi) \frac{e^{ikr}}{r}, \quad r \equiv |\vec{r}|, \quad f_k: \text{„Streuamplitude“}$$

$$\begin{aligned} \Rightarrow \nabla^2 f_k(\theta, \varphi) \frac{e^{ikr}}{r} &= \Delta f_k(\theta, \varphi) \frac{e^{ikr}}{r} \\ &= \frac{1}{r^2} \frac{\partial}{\partial r} \left[ r^2 \frac{\partial}{\partial r} f_k(\theta, \varphi) \frac{e^{ikr}}{r} \right] + \frac{1}{r^2 \sin^2 \theta} \left[ \frac{\partial}{\partial \theta} \left( \sin \theta \frac{\partial}{\partial \theta} f_k(\theta, \varphi) \frac{e^{ikr}}{r} \right) + \frac{\partial^2}{\partial \varphi^2} f_k(\theta, \varphi) \frac{e^{ikr}}{r} \right] \\ &= -k^2 f_k(\theta, \varphi) \frac{e^{ikr}}{r} + \mathcal{O}\left(\frac{1}{r^2}\right) \end{aligned}$$

► anschaulich klar:

$\psi_{\text{streu}}$  ist keine ebene Welle,  
sondern läuft **asymptotisch radial**  
aus.



$$\psi_{\text{streu}}(\vec{r}) \xrightarrow{r \rightarrow \infty} f_k(\theta, \varphi) \frac{e^{ikr}}{r}, \quad r \equiv |\vec{r}|, \quad f_k: \text{„Streuamplitude“}$$

$$\begin{aligned} \Rightarrow \nabla^2 f_k(\theta, \varphi) \frac{e^{ikr}}{r} &= \Delta f_k(\theta, \varphi) \frac{e^{ikr}}{r} \\ &= \frac{1}{r^2} \frac{\partial}{\partial r} \left[ r^2 \frac{\partial}{\partial r} f_k(\theta, \varphi) \frac{e^{ikr}}{r} \right] + \frac{1}{r^2 \sin^2 \theta} \left[ \frac{\partial}{\partial \theta} \left( \sin \theta \frac{\partial}{\partial \theta} f_k(\theta, \varphi) \frac{e^{ikr}}{r} \right) + \frac{\partial^2}{\partial \varphi^2} f_k(\theta, \varphi) \frac{e^{ikr}}{r} \right] \\ &= -k^2 f_k(\theta, \varphi) \frac{e^{ikr}}{r} + \mathcal{O}\left(\frac{1}{r^2}\right) \end{aligned}$$

→ asymptotisch Lösung der freien Schrödinger-Gleichung ✓



- ▶ Asymptotik insgesamt:  $\psi(\vec{r}) \xrightarrow{r \rightarrow \infty} \mathcal{N} \left( e^{ikz} + f_k(\theta, \varphi) \frac{e^{ikr}}{r} \right)$ 
  - ▶  $\mathcal{N}$ : Normierungsfaktor (fällt in der Berechnung von Wirkungsquerschnitten heraus und kann daher weggelassen werden)



- ▶ **Asymptotik insgesamt:**  $\psi(\vec{r}) \xrightarrow{r \rightarrow \infty} \mathcal{N} \left( e^{ikz} + f_k(\theta, \varphi) \frac{e^{ikr}}{r} \right)$ 
  - ▶  $\mathcal{N}$ : Normierungsfaktor (fällt in der Berechnung von Wirkungsquerschnitten heraus und kann daher weggelassen werden)
- ▶ **andere Notation für die Streuamplitude:**  $f_k(\theta, \varphi) \equiv f(\vec{k}', \vec{k})$ 
  - ▶  $\vec{k}$  = Wellenvektor der einlaufenden Welle ( $= k\vec{e}_z$ )
  - ▶  $\vec{k}'$  = Wellenvektor der auslaufenden Welle  
( $|\vec{k}'| = |\vec{k}|$  für elastische Streuung,  $(\theta, \varphi) \hat{=}$  Richtung von  $\vec{k}'$ )



- ▶ **Asymptotik insgesamt:**  $\psi(\vec{r}) \xrightarrow{r \rightarrow \infty} \mathcal{N} \left( e^{ikz} + f_k(\theta, \varphi) \frac{e^{ikr}}{r} \right)$ 
  - ▶  $\mathcal{N}$ : Normierungsfaktor (fällt in der Berechnung von Wirkungsquerschnitten heraus und kann daher weggelassen werden)
- ▶ **andere Notation für die Streuamplitude:**  $f_k(\theta, \varphi) \equiv f(\vec{k}', \vec{k})$ 
  - ▶  $\vec{k}$  = Wellenvektor der einlaufenden Welle ( $= k\vec{e}_z$ )
  - ▶  $\vec{k}'$  = Wellenvektor der auslaufenden Welle  
( $|\vec{k}'| = |\vec{k}|$  für elastische Streuung,  $(\theta, \varphi) \hat{=}$  Richtung von  $\vec{k}'$ )
- ▶ **radialsymmetrische Potentiale** (bei uns fast immer der Fall):  
 $V(\vec{r}) = V(r) \Rightarrow f_k(\theta, \varphi) = f_k(\theta)$



- Zusammenhang mit dem Wirkungsquerschnitt:

$$d\sigma = \frac{\vec{j}_{\text{streu}} \cdot d\vec{S}}{|\vec{j}_{\text{eint}}|} = \frac{(\vec{j}_{\text{streu}})_r r^2 d\Omega}{|\vec{j}_{\text{eint}}|} \quad (r \rightarrow \infty)$$



► Zusammenhang mit dem Wirkungsquerschnitt:

$$d\sigma = \frac{\vec{j}_{\text{streu}} \cdot d\vec{S}}{|\vec{j}_{\text{eint}}|} = \frac{(\vec{j}_{\text{streu}})_r r^2 d\Omega}{|\vec{j}_{\text{eint}}|} \quad (r \rightarrow \infty)$$

$$\Rightarrow \frac{d\sigma}{d\Omega} = \lim_{r \rightarrow \infty} \frac{(\vec{j}_{\text{streu}})_r r^2}{|\vec{j}_{\text{eint}}|}$$



- ▶ Zusammenhang mit dem Wirkungsquerschnitt:

$$d\sigma = \frac{\vec{j}_{\text{streu}} \cdot d\vec{S}}{|\vec{j}_{\text{eint}}|} = \frac{(\vec{j}_{\text{streu}})_r r^2 d\Omega}{|\vec{j}_{\text{eint}}|} \quad (r \rightarrow \infty)$$

$$\Rightarrow \frac{d\sigma}{d\Omega} = \lim_{r \rightarrow \infty} \frac{(\vec{j}_{\text{streu}})_r r^2}{|\vec{j}_{\text{eint}}|}$$

- ▶ Wahrscheinlichkeitsstromdichte:  $\vec{j} = \frac{\hbar k}{2\mu i} (\psi^* \vec{\nabla} \psi - \psi \vec{\nabla} \psi^*)$



- ▶ Zusammenhang mit dem Wirkungsquerschnitt:

$$d\sigma = \frac{\vec{j}_{\text{streu}} \cdot d\vec{S}}{|\vec{j}_{\text{eintl}}|} = \frac{(\vec{j}_{\text{streu}})_r r^2 d\Omega}{|\vec{j}_{\text{eintl}}|} \quad (r \rightarrow \infty)$$

$$\Rightarrow \frac{d\sigma}{d\Omega} = \lim_{r \rightarrow \infty} \frac{(\vec{j}_{\text{streu}})_r r^2}{|\vec{j}_{\text{eintl}}|}$$

- ▶ Wahrscheinlichkeitsstromdichte:  $\vec{j} = \frac{\hbar k}{2\mu i} (\psi^* \vec{\nabla} \psi - \psi \vec{\nabla} \psi^*)$

- ▶ einlaufende Welle:  $\vec{j}_{\text{eintl}} = \frac{\hbar k}{\mu} \vec{e}_z$



- ▶ Zusammenhang mit dem Wirkungsquerschnitt:

$$d\sigma = \frac{\vec{j}_{\text{streu}} \cdot d\vec{S}}{|\vec{j}_{\text{eintl}}|} = \frac{(\vec{j}_{\text{streu}})_r r^2 d\Omega}{|\vec{j}_{\text{eintl}}|} \quad (r \rightarrow \infty)$$

$$\Rightarrow \frac{d\sigma}{d\Omega} = \lim_{r \rightarrow \infty} \frac{(\vec{j}_{\text{streu}})_r r^2}{|\vec{j}_{\text{eintl}}|}$$

- ▶ Wahrscheinlichkeitsstromdichte:  $\vec{j} = \frac{\hbar k}{2\mu i} (\psi^* \vec{\nabla} \psi - \psi \vec{\nabla} \psi^*)$

- ▶ einlaufende Welle:  $\vec{j}_{\text{eintl}} = \frac{\hbar k}{\mu} \vec{e}_z$

- ▶ Streuwelle:

$$(\vec{j}_{\text{streu}})_r = \frac{\hbar k}{2\mu i} (\psi_{\text{streu}}^* \frac{\partial}{\partial r} \psi_{\text{streu}} - \psi_{\text{streu}} \frac{\partial}{\partial r} \psi_{\text{streu}}^*) \xrightarrow{r \rightarrow \infty} \frac{\hbar k}{\mu} |f_k|^2 \frac{1}{r^2}$$



- ▶ Zusammenhang mit dem Wirkungsquerschnitt:

$$d\sigma = \frac{\vec{j}_{\text{streu}} \cdot d\vec{S}}{|\vec{j}_{\text{eintl}}|} = \frac{(\vec{j}_{\text{streu}})_r r^2 d\Omega}{|\vec{j}_{\text{eintl}}|} \quad (r \rightarrow \infty)$$

$$\Rightarrow \frac{d\sigma}{d\Omega} = \lim_{r \rightarrow \infty} \frac{(\vec{j}_{\text{streu}})_r r^2}{|\vec{j}_{\text{eintl}}|}$$

- ▶ Wahrscheinlichkeitsstromdichte:  $\vec{j} = \frac{\hbar k}{2\mu i} (\psi^* \vec{\nabla} \psi - \psi \vec{\nabla} \psi^*)$

- ▶ einlaufende Welle:  $\vec{j}_{\text{eintl}} = \frac{\hbar k}{\mu} \vec{e}_z$

- ▶ Streuwelle:

$$(\vec{j}_{\text{streu}})_r = \frac{\hbar k}{2\mu i} (\psi_{\text{streu}}^* \frac{\partial}{\partial r} \psi_{\text{streu}} - \psi_{\text{streu}} \frac{\partial}{\partial r} \psi_{\text{streu}}^*) \xrightarrow{r \rightarrow \infty} \frac{\hbar k}{\mu} |f_k|^2 \frac{1}{r^2}$$

$$\Rightarrow \boxed{\frac{d\sigma}{d\Omega}(\theta, \varphi) = |f_k(\theta, \varphi)|^2}$$